

Méthodes Numériques

Cours 2 :

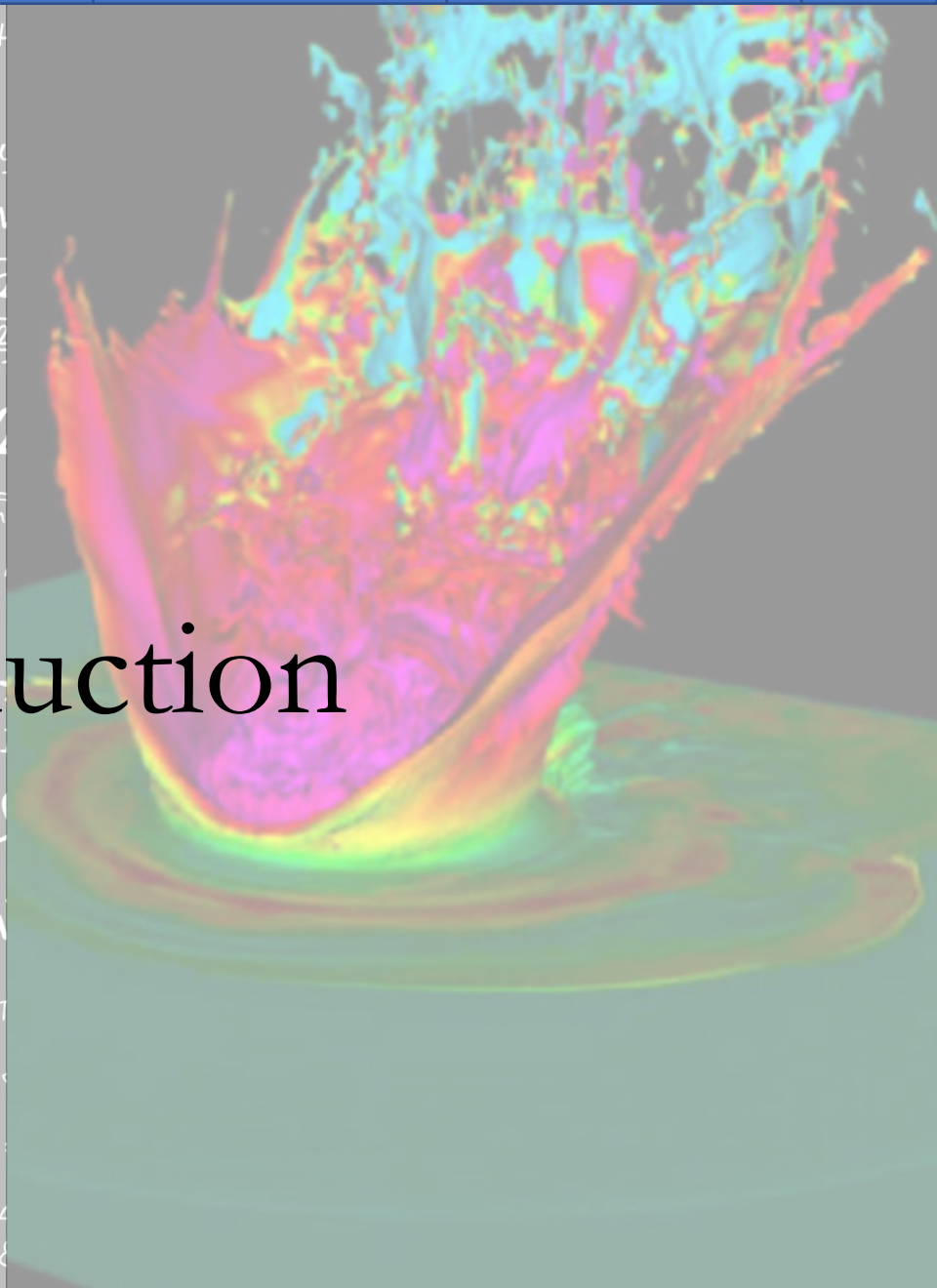
Résolution d'équations différentielles ordinaires (EDO)

Dr. Barbara PERRI

barbara.perri@universite-paris-saclay.fr

$$\begin{aligned}
 & v_2 \tan \theta_B = \frac{w_2}{w_1} = w_{21} & \rho V = nRT & \vec{\psi} = \iint \vec{D} d\vec{S} = AD \\
 & M_e = \sigma T^4 & \phi_e = \frac{L}{4\pi r^2} & \frac{\Delta\psi}{2\pi} = \frac{\Delta x}{\lambda} = \frac{x_2 - x_1}{\lambda} & v = c/\lambda \\
 & \psi = E\psi & \Delta t = \frac{\Delta t'}{\sqrt{1 - v^2/c^2}} & X_L = \frac{U_m}{I_m} = \omega L = 2\pi f L & F_g = \frac{m_1 m_2}{r^2} \\
 & E = \hbar\omega & U = \frac{W_{AB}}{|E_{PA} - E_{PB}|} = \frac{V_A - V_B}{|T|} & T = \frac{4n_1 n_2}{(n_2 + n_1)^2} & g = \frac{m_1 m_2}{r^2} \\
 & E = \frac{hc}{\lambda} & \varphi_E = \frac{E_c}{a} \int \sin(\omega t + \phi) dy & & R_m = \frac{c}{T} k = \pm \sqrt{\frac{2}{\lambda}} \\
 & M_m = \frac{M_r \cdot 10^{-3}}{N_A} & l_t = l_0(1 + d\Delta t) & I = \frac{U_e}{R + R_i} & \omega = \frac{2\pi}{T} \\
 & \bar{m}_e R = \rho \frac{h}{S} & E = mc^2 & \beta = \frac{\Delta I_c}{I_c} & \phi_e = \frac{\Delta E}{\Delta t} \frac{m_1}{x} + \frac{m_2}{x'} \\
 & \psi(x) = \sqrt{2/L} \sin \frac{n\pi x}{L} & E = \frac{1}{2} \hbar v / k/m & & \phi = \frac{2\pi \sin^2 \theta}{\lambda} \\
 & \iint \vec{J} d\vec{S} & \vec{S} = \frac{1}{\mu_0} (\vec{E} \times \vec{B}) & & & \\
 & N_A = \sqrt{\frac{3R_m T}{M_r \cdot 10^{-3}}} & E = \hbar k^2 & PC = \frac{1}{r} & R = \frac{U}{I} & F_v = \dots \\
 & h = Sh\rho g & f_0 = \frac{1}{2\pi \sqrt{LC}} & \sigma = \frac{Q}{M} & M = Fd \cos \alpha & \\
 & \cos \theta_2 & R = R_0 \sqrt[3]{A} & \int \vec{E} d\vec{l} = - \iint \frac{\partial \vec{B}}{\partial t} \cdot d\vec{S} & p = \frac{E}{c} = \frac{hf}{c} = \frac{h}{\lambda} \\
 & \int \vec{H} d\vec{l} = \iint (\vec{J} + \frac{\partial \vec{D}}{\partial t}) \cdot d\vec{S} & \Phi = m c \Delta t & F_g = \dots & \\
 & = \mu_0 \sum I_i & \rho = \frac{\vec{F}}{\Delta S} = \frac{m \Delta \vec{v}}{\Delta S \Delta t} & P = UI & h = \frac{1}{2} g t^2 & v = v_1(1 + \beta) \\
 & f' = \frac{v_a \cdot v_b}{(v - 1)(v_b - v_a)} & \nabla \times \left(-\frac{\partial \vec{B}}{\partial t} \right) = -\frac{\partial}{\partial t} (\text{rot } \vec{B}) = -\mu_0 \frac{\partial}{\partial t} \left(\frac{\partial \vec{B}}{\partial t} \right) = \dots
 \end{aligned}$$

Introduction



Plan de l'UE

Idée générale :

Au premier semestre, on va introduire les notions de base, et s'intéresser en détails à une méthode numérique précise

Tous les jeudi matin (8h45-12h45) au bâtiment 625

21 Novembre : Cours 1 + **Cours 2**

4 Décembre : Cours 3 + TP 1

5 Décembre : Cours 4 + TP 2

12 Décembre : Cours 5 + TP 3

19 Décembre : Cours 6 + TP 4

9 Janvier : Cours 7 + TP 4

16 Janvier : Cours 8 + TP 5

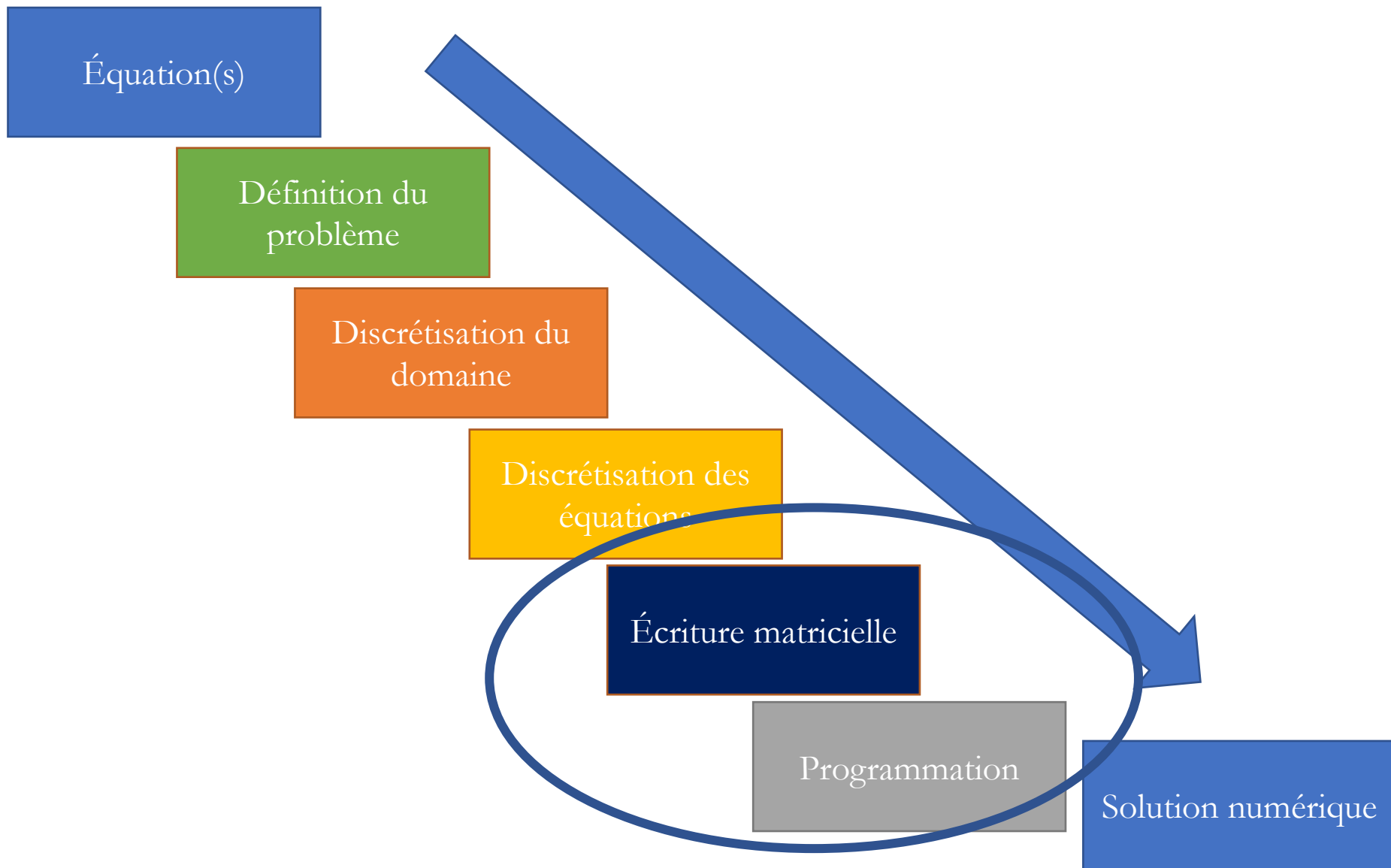
23 Janvier : TP 5

30 Janvier : Examen

Modalités d'évaluation :

TPs + examen oral (question de cours + exercice)

Cycle des méthodes numériques



Rappel : Définition des EDOs

En méthodes numériques, on s'intéresse à deux grandes familles :

Équations différentielles ordinaires (EDO)

= les inconnues ne dépendent que d'une seule variable

$$\frac{df(x)}{dx} + f(x) = g(x)$$

Équations aux dérivées partielles (EDP)

= les inconnues peuvent dépendre de plusieurs variables

$$\frac{\partial f(x, t)}{\partial x} + f(x, t) = g(x, t)$$

- On va d'abord voir les méthodes qu'on peut appliquer pour les EDOs (qui sont souvent plus simples)
- Ceci va nous permettre d'introduire un certain nombre d'outils pour la suite

Formulation du problème

1

2

3

On s'intéresse à une EDO qui dépend de l'espace (pour l'instant 1D)

→ système de p EDO d'ordre 1 :

$$\left\{ \begin{array}{l} \frac{du_1}{dx} = f_1(x, u_1, u_2, \dots, u_p) \\ \frac{du_2}{dx} = f_2(x, u_1, u_2, \dots, u_p) \\ \dots \\ \frac{du_p}{dx} = f_p(x, u_1, u_2, \dots, u_p) \end{array} \right. \quad \xrightarrow{\quad} \quad \begin{array}{l} \frac{d\vec{u}}{dx} = f(x, \vec{u}), \vec{u} = (u_1, u_2, \dots, u_p) \\ \text{Discrétisation : } L_0 < x_1 < \dots < x_N = L_f \\ \vec{u}^k = \vec{u}(x_k), f^k = f(x_k, \vec{u}^k) \\ \text{Conditions aux limites :} \\ \vec{u}^0 = \vec{U}^0, \vec{u}^N = \vec{U}^N \text{ (Dirichlet)} \\ \frac{d\vec{u}^0}{dx} = \frac{d\vec{U}^0}{dx}, \frac{d\vec{u}^N}{dx} = \frac{d\vec{U}^N}{dx} \text{ (Neuman)} \end{array}$$

$x \in [L_0, L_f]$

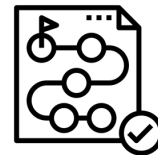
→ on connaît les p fonctions $f_i(x, u_1, u_2, \dots, u_p)$

→ on cherche à identifier les solutions $u_1(x), u_2(x), \dots, u_p(x)$ passant par l'état initial

On peut écrire le problème sous forme intégrale :

$$\vec{u}^{k+1} = \vec{u}^k + \int_{x_k}^{x_{k+1}} f(x', \vec{u}(x')) dx'$$

→ Dans certains cas, l'intégrale peut être résolue analytiquement



Méthode de Newton : Théorie

Cas d'une EDO qu'on peut mettre sous la forme (intégration) :

$$F(x) = 0$$

→ le problème est alors ramené à trouver le zéro d'une fonction

→ Méthode de Newton (ou Newton-Raphson) :

On définit la tangente à la fonction $F(x)$ en un point x_0 :

$$F'(x_0) \approx \frac{F(x) - F(x_0)}{x - x_0} \Rightarrow F(x) \approx F(x_0) + F'(x_0)(x - x_0)$$

On a alors une approximation très simple de la fonction $F(x)$

→ on va trouver le zéro de cette approximation plutôt (plus simple) :

$$0 \approx F(x_0) + F'(x_0)(x_1 - x_0) \Rightarrow x_1 = x_0 - \frac{f(x_0)}{f'(x_0)}$$

→ x_1 a alors plus de chance d'être un 0 de F que x_0

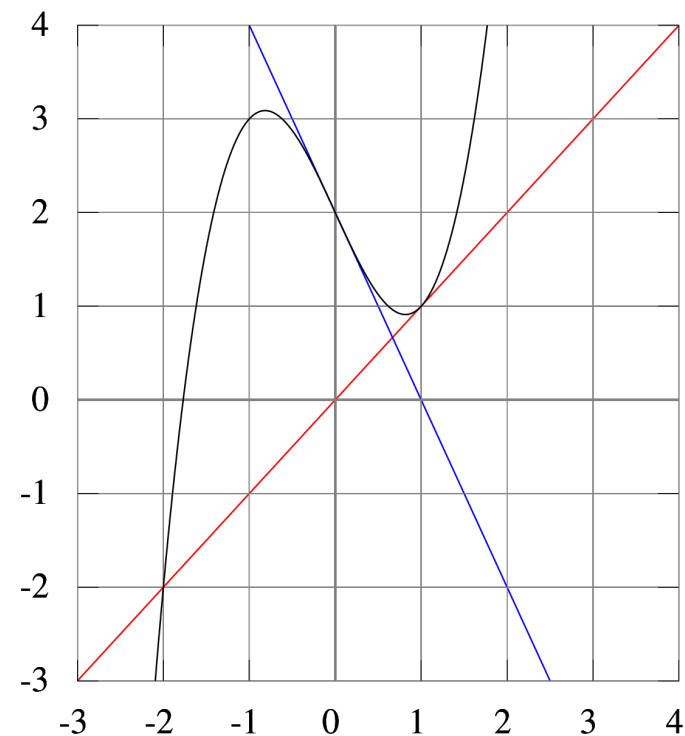
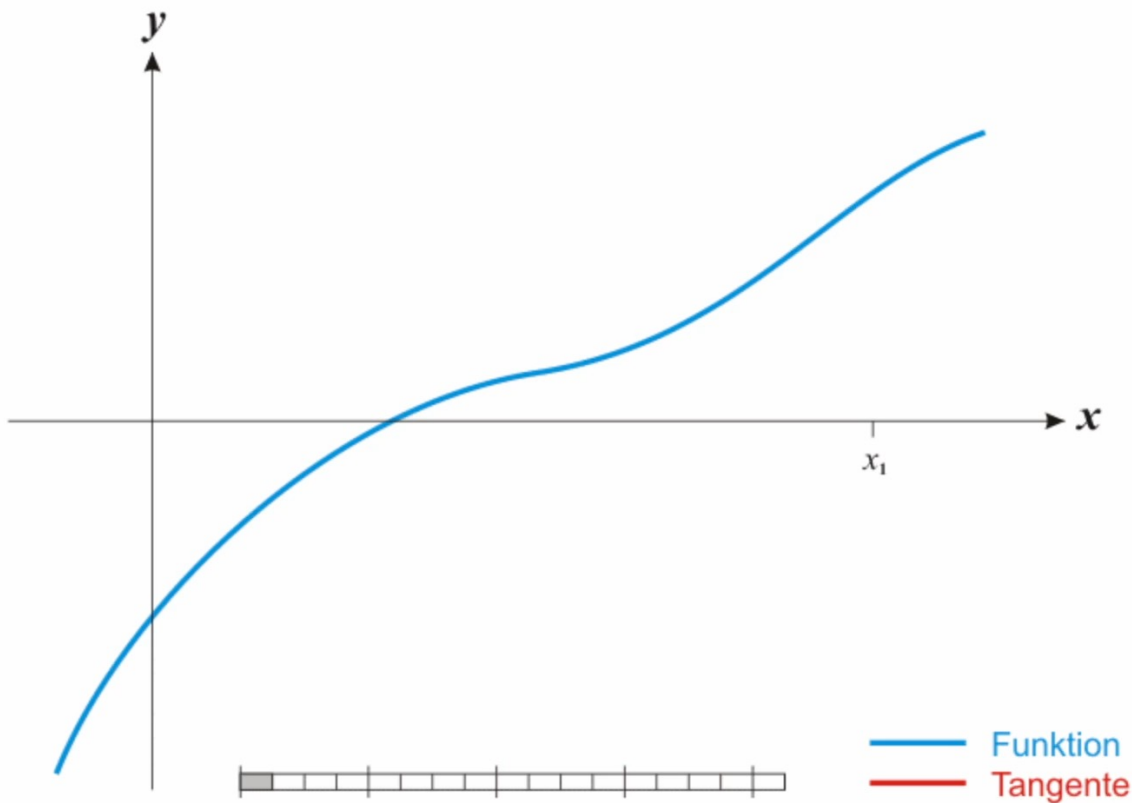
→ on répète la procédure de manière itérative jusqu'à atteindre la précision désirée

Méthode de Newton : Illustration



[Wikipedia]

Animation de la procédure pour un cas 1D simple :



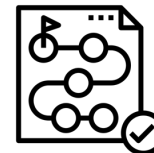
Avantages :

Rapide, simple à coder, applicable dès que F est dérivable

Inconvénients :

Que certains problèmes, dérivée doit être non nulle, supposition initiale, plusieurs zéros ??

Méthode de Newton : Algorithme



Condition initiale :

Choix de x_0 , choix de la précision ϵ

Condition :

Tant que $F(x_k)$ n'est pas en dessous de la précision souhaitée ϵ
 = tant que x_k n'est pas un assez bon zéro

Itération :

Calcul du nouveau zéro avec la formule :

$$x_{k+1} = x_k - \frac{f(x_k)}{f'(x_k)}$$

[Réville 2016]

Algorithm 3 Méthode de Newton-Raphson

1: **procédure** NEWTON-RAPHSON(f, x_0)

2: $f_k \leftarrow f(x_0)$

3: **while** $\|f_k\| \geq \epsilon$ **do**

▷ Début de l'itération

4: $x_{k+1} \leftarrow x_k - \frac{f(x_k)}{f'(x_k)}$

5: $f_k \leftarrow f(x_{k+1})$

6: **return** x_k

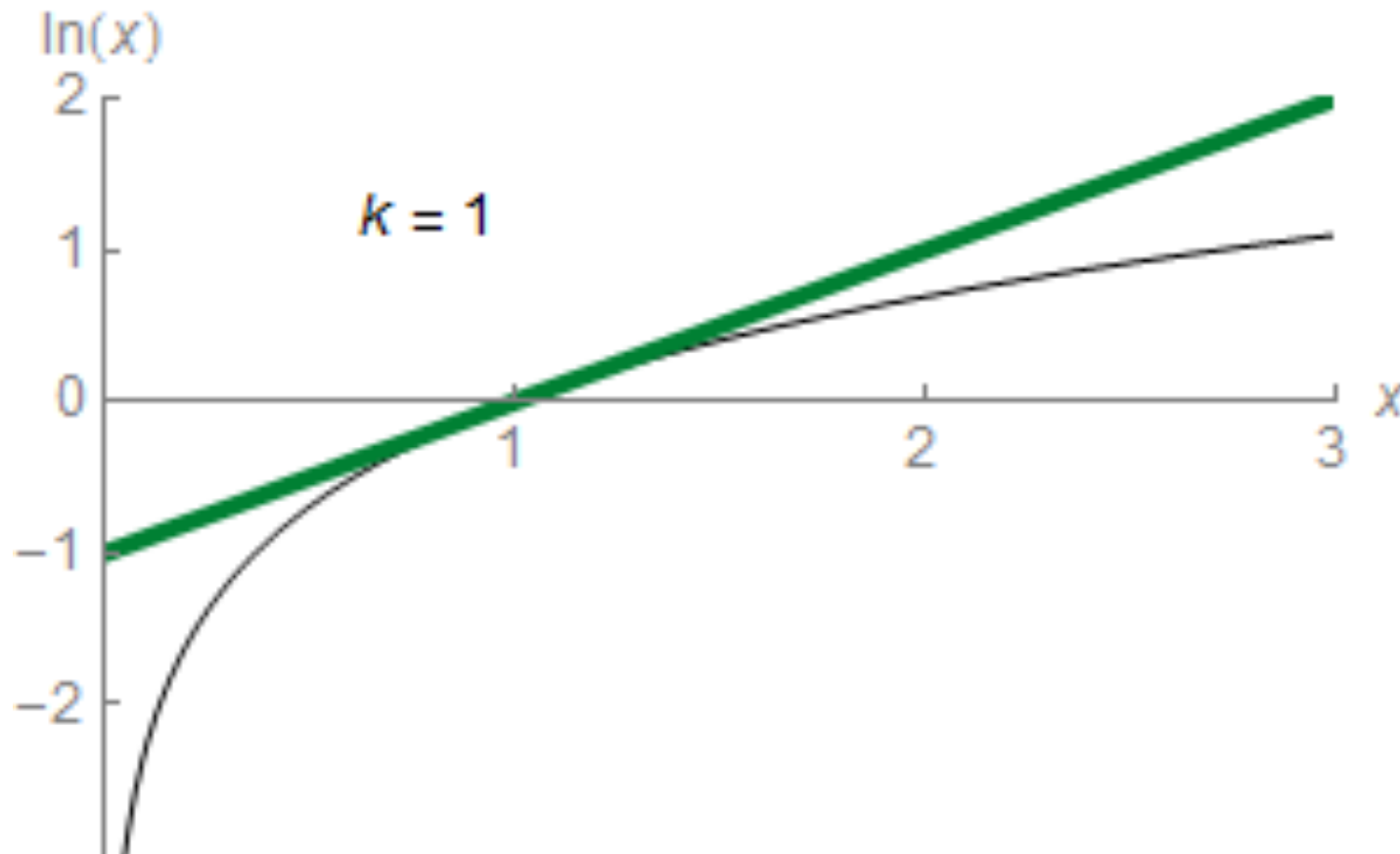
▷ Position du zéro à la précision voulue

Formule de Taylor (II)



[Wikipedia]

Visualisation :

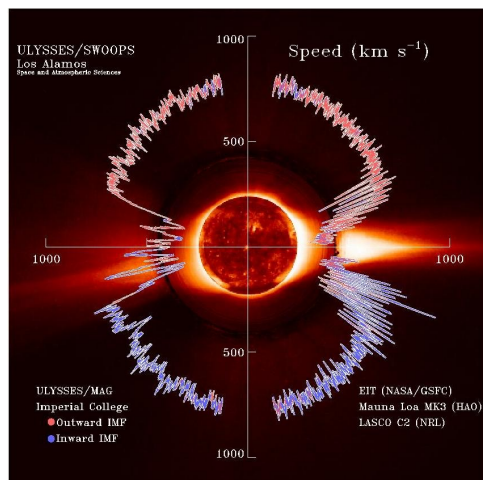


→ Plus on augmente n , plus on se rapproche de la solution exacte en ce point

Exemple d'EDO intégrable

1

Calcul d'une solution de vent solaire hydrodynamique en 1D (cas isotherme) :



[McComas+2008]

[Parker 1958]

$$\rho(r) = \frac{A}{ur^2} \quad p(r) = c_s^2 \frac{A}{ur^2}$$

$$\frac{\partial}{\partial r}(\rho ur^2) = 0,$$

$$u \frac{\partial u}{\partial r} = -\frac{1}{\rho} \frac{\partial p}{\partial r} - \frac{GM_\odot}{r^2}, \quad \longrightarrow \quad \frac{\partial u}{\partial r} \left(u - \frac{c_s^2}{u} \right) = c_s^2 \frac{2}{r} - \frac{GM_\odot}{r^2}$$

$$p = c_s^2 \rho. \quad (\vec{u} = u(r))$$

Changement de variable : $M = \frac{u}{c_s^2}, r_c = \frac{GM_\odot}{2c_s^2}$

$$\frac{\partial M}{\partial r} \left(M - \frac{1}{M} \right) = \frac{2}{r} - \frac{GM_\odot}{c_s^2 r^2}$$

On peut alors intégrer :

$$\frac{M^2}{2} - \ln M - 2 \ln x - \frac{2}{x} + C = 0,$$

→ On a ramené notre système d'EDO à résoudre $F(x) = 0$

Méthode de Newton : Exemple

Calculer une solution de vent solaire hydrodynamique en 1D (cas isotherme) :

$$\frac{\partial}{\partial r}(\rho u r^2) = 0,$$

$$u \frac{\partial u}{\partial r} = -\frac{1}{\rho} \frac{\partial p}{\partial r} - \frac{GM_{\odot}}{r^2},$$

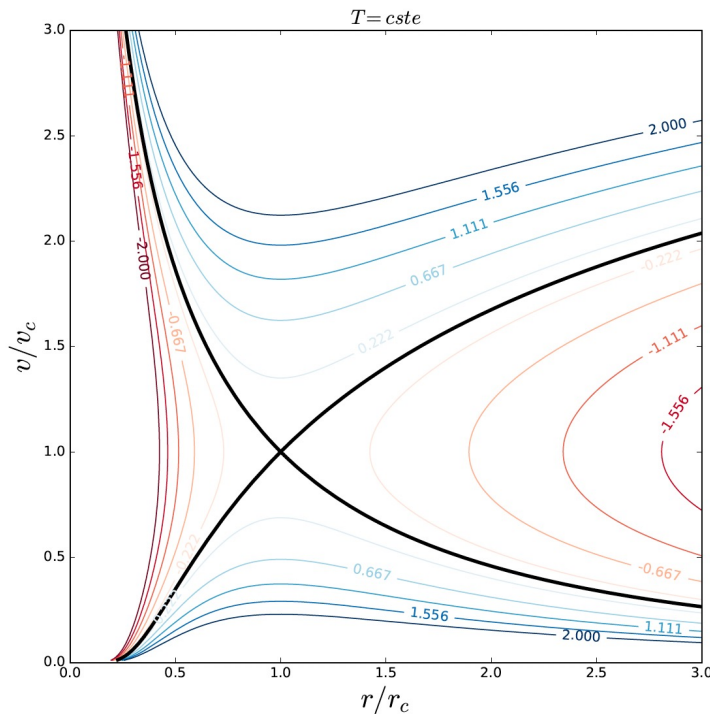
$$p = c_s^2 \rho.$$



$$\frac{M^2}{2} - \ln M - 2 \ln x - \frac{2}{x} = C,$$

$$M = \frac{u}{c_s}, x = \frac{r}{r_c}, r_c = \frac{GM_{\odot}}{2c_s^2}$$

$$F(M, x) = \frac{M^2}{2} - \ln M - 2 \ln x - \frac{2}{x}.$$



En traçant la fonction, on trouve que la solution qu'on cherche correspond à $C = -3/2$

Méthode de Newton en multi-D



Pour une dimension n quelconque,
on remplace la dérivée de la fonction f par son Jacobien :

$$f = (f_1, f_2, \dots, f_n)^T \quad \longrightarrow \quad J = \begin{pmatrix} \frac{\partial f_1}{\partial x_1} & \dots & \frac{\partial f_1}{\partial x_n} \\ \vdots & \ddots & \vdots \\ \frac{\partial f_n}{\partial x_1} & \dots & \frac{\partial f_n}{\partial x_n} \end{pmatrix}$$

On garde la même procédure algorithmique, on remplace simplement :

$$x_{k+1} \leftarrow x_k - \frac{f(x_k)}{f'(x_k)} \quad \longrightarrow \quad x_{k+1} \leftarrow x_k - J^{-1}(x_k) f(x_k);$$

→ la difficulté devient alors d'inverser le Jacobien

$$2 \operatorname{tg} \vartheta_B = \frac{w_2}{w_1} = w_{21} \quad \rho V = nRT \quad \vec{\Psi} = \iint \vec{D} d\vec{S} = AD$$

$$M_e = \sigma T^4 \quad \phi_e = \frac{L}{4\pi r^2} \quad \frac{\Delta\varphi}{2\pi} = \frac{\Delta x}{\lambda} = \frac{x_2 - x_1}{\lambda} \quad v = c/\lambda$$

$$E = h\nu \quad U = \frac{W_{AB}}{|E_{PA} - E_{PB}|} = \frac{V_A - V_B}{|E_A - E_B|} \quad T = \frac{4n_1 n_2}{(n_2 + n_1)^2} \quad F_g = \frac{m_1 m_2}{r^2}$$

$$v = \frac{wh}{2\pi r m_e} \quad \varphi_E = \frac{E_c}{\varphi_0} = k \frac{\varphi}{r} \quad m = N \cdot m_0 = \frac{Q}{V_e} \frac{M_m}{N_A} \quad E = \frac{E_c}{a} \int_{-a/L}^{+a/L} \sin(\omega t + \phi) dy$$

$$\frac{M_m}{N_A} = \frac{M_r \cdot 10^{-3}}{N_A} \quad l_t = l_0(1 + d\Delta t) \quad I = \frac{U_e}{R + R_i} \quad \omega = \frac{2\pi}{T} \quad k = \pm \sqrt{\frac{2m_e E_c}{\hbar^2}}$$

$$R = \rho \frac{l}{S} \quad E = mc^2 \quad \beta = \frac{\Delta I_c}{I_c} \quad \phi_e = \frac{\Delta E}{\Delta t} \frac{m_1}{x} + \frac{m_2}{x'} = \frac{2\pi \sin^2 \vartheta}{\lambda}$$

$$N_A = \sqrt{\frac{3R_m T}{M_r \cdot 10^{-3}}} \quad E = \frac{1}{2} \hbar \omega \quad \sigma = \frac{Q}{M} \quad M = F d \cos \alpha$$

$$h = Shp g \quad f_0 = \frac{1}{2\pi \sqrt{CL}} \quad S_{I_m}^2 = U_m^2 \left[\frac{1}{R^2} + \left(\frac{1}{X_c} - \frac{1}{X_L} \right)^2 \right]$$

$$\vec{H} d\vec{l} = \iint_S (\vec{J} + \frac{\partial \vec{D}}{\partial t}) \cdot d\vec{S} \quad \varphi = mc\Delta t \quad F_g = \frac{G m_1 m_2}{r^2}$$

$$= \mu_0 \sum I_i \quad \rho = \frac{\vec{F}}{\Delta S} = \frac{m \Delta \vec{V}}{\Delta S \Delta t} \quad P = UI \quad h = \frac{1}{2} g t^2 \quad v = v_1(1 + \beta)$$

$$f' = \frac{v_a \cdot v_b}{(v-1)(v_0 - v_a)} \quad \nabla \times \left(-\frac{\partial \vec{B}}{\partial t} \right) = -\frac{\partial}{\partial t} (\operatorname{rot} \vec{B}) = -\mu_0 \frac{\partial}{\partial t} \left(\frac{\partial \vec{B}}{\partial t} \right) = -\mu_0 \frac{\partial^2 \vec{B}}{\partial t^2}$$

Quadrature d'interpolation



Formulation du problème

Cette fois-ci, on s'intéresse à une EDO qui dépend du temps

→ système de p EDO d'ordre 1 :

$$\left[\begin{array}{l} \frac{du_1}{dt} = f_1(t, u_1, u_2, \dots, u_p) \\ \frac{du_2}{dt} = f_2(t, u_1, u_2, \dots, u_p) \\ \dots \\ \frac{du_p}{dt} = f_p(t, u_1, u_2, \dots, u_p) \end{array} \right. \quad \begin{array}{c} \longrightarrow \\ t \in [t_0, t_f] \end{array} \quad \begin{array}{l} \frac{d\vec{u}}{dt} = f(t, \vec{u}), \vec{u} = (u_1, u_2, \dots, u_p) \\ \text{Discrétisation : } t_0 < t_1 < \dots < t_N = t_f \\ \vec{u}^n = \vec{u}(t_n), f^n = f(t_n, \vec{u}^n) \\ \text{Conditions initiales : } \vec{u}^0 = \vec{U} \end{array}$$

→ on connaît les p fonctions $f_i(t, u_1, u_2, \dots, u_p)$

→ on cherche à identifier les solutions $u_1(t), u_2(t), \dots, u_p(t)$ passant par l'état initial

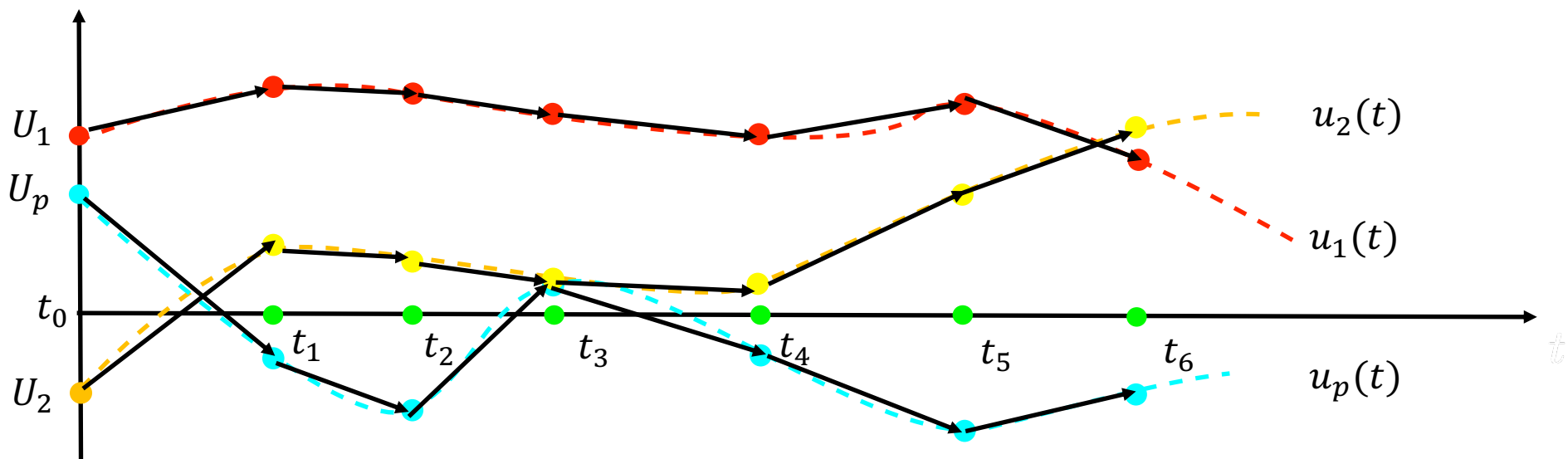
On peut écrire le problème sous forme intégrale :

$$\vec{u}^{n+1} = \vec{u}^n + \int_{t_n}^{t_{n+1}} f(t', \vec{u}(t')) dt'$$

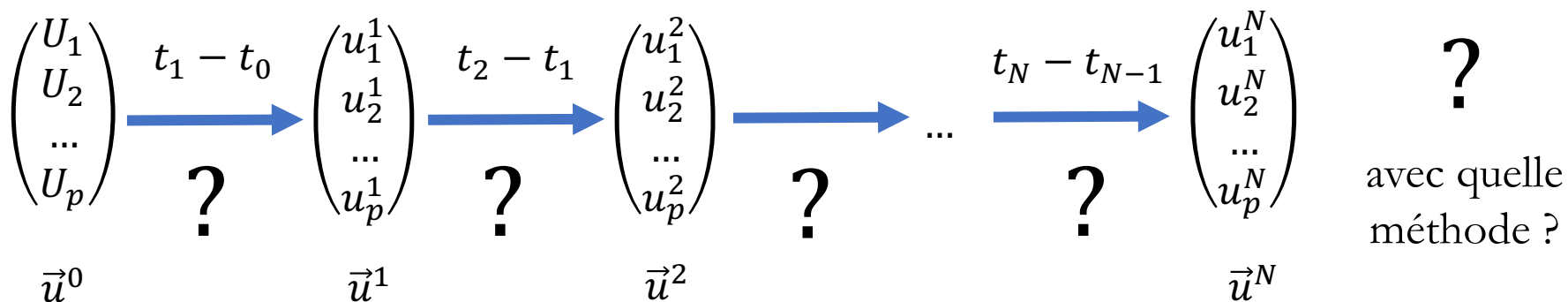
→ Pour résoudre le problème, il s'agit alors de trouver comment approximer l'intégrale

Visualisation du problème

L'idée générale d'une intégration temporelle numérique peut être illustrée ainsi :



→ on calculera donc la solution pas à pas :

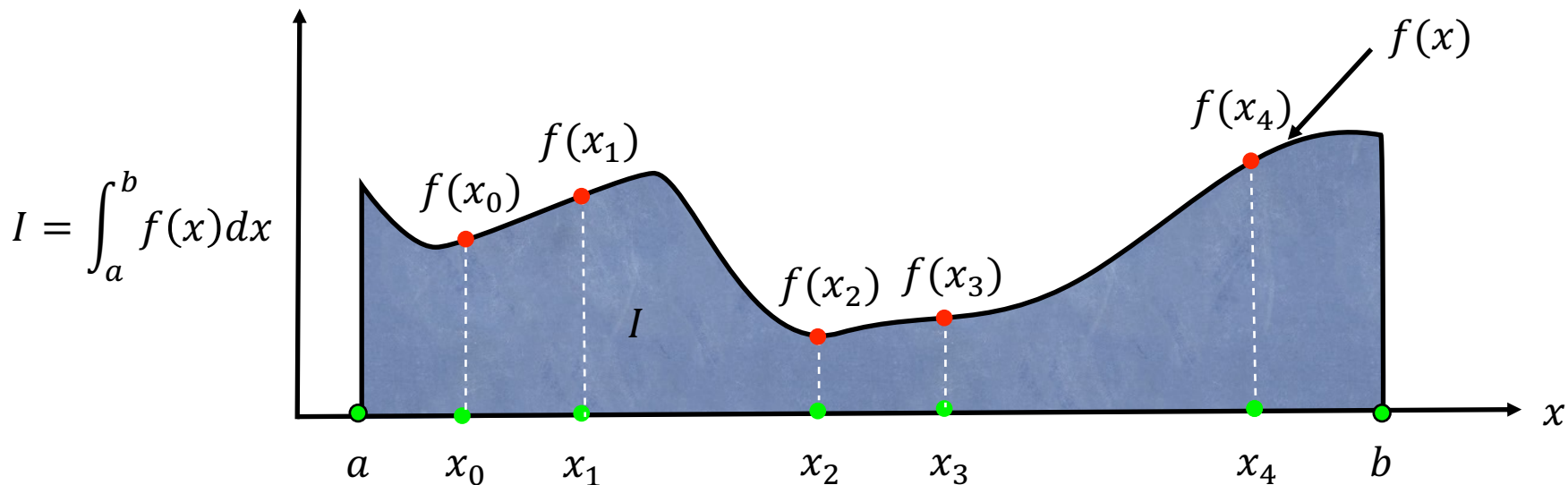


Intégration numérique

On a notre problème sous forme intégrale :

$$\vec{u}^{n+1} = \vec{u}^n + \int_{t_n}^{t_{n+1}} f(t', \vec{u}(t')) dt'$$

→ Approximer l'intégrale = calculer l'aire sous la courbe f :



→ Problème : dans le cas numérique, on a un problème discret, pas une courbe continue !

→ Il faut être capable de réaliser une interpolation de la fonction et de l'intégrale

Interpolation (I)

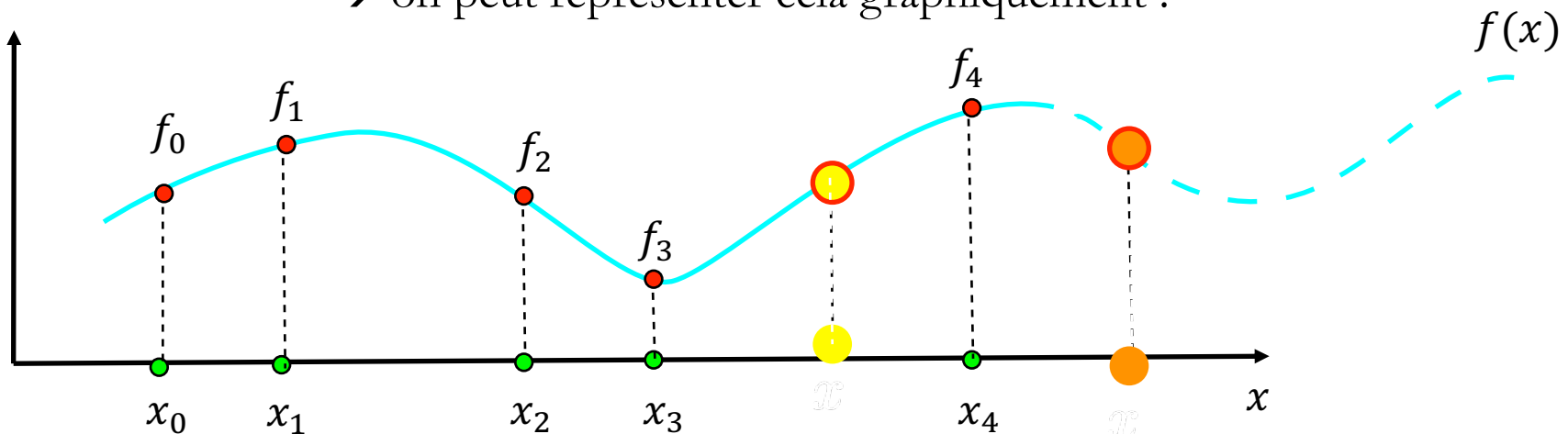


Qu'est-ce que l'interpolation ?

Ex : un astronome au XV^{ème} siècle mesure la position des étoiles chaque nuit

instant	x_0	x_1	x_2	...	x_n
position	f_0	f_1	f_2	...	f_n

→ on peut représenter cela graphiquement :



→ avec ces mesures, on voudrait déterminer la position de l'étoile n'importe quand

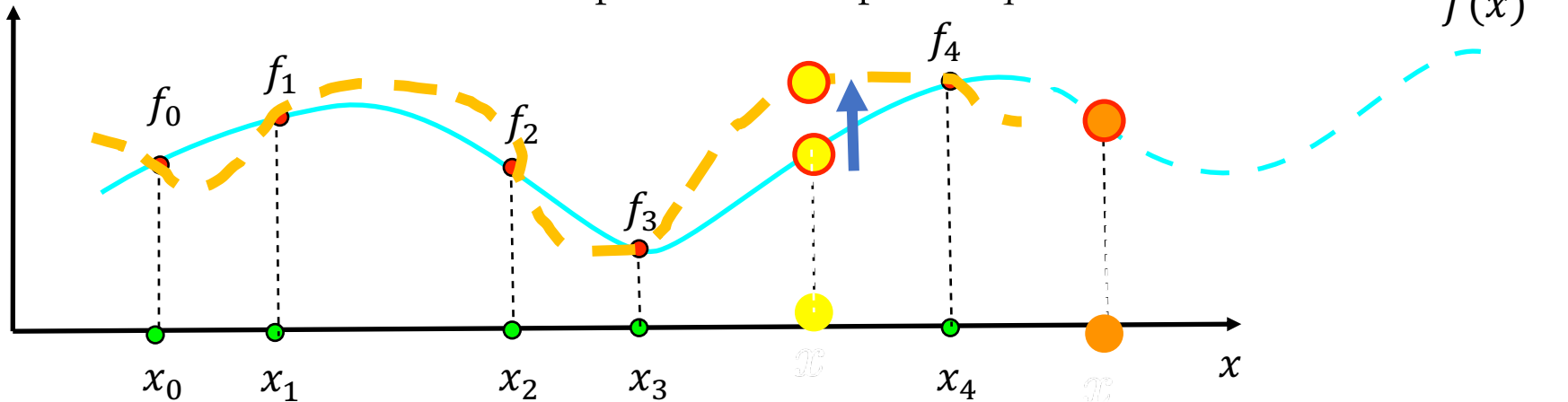
→ **Interpolation** : $x \in [x_0, x_n]$

→ **Extrapolation** : $x < x_0, x > x_n$

→ pour cela, il faut construire une fonction d'interpolation

Interpolation (II)

→ Une interpolation n'est pas unique !



→ Une interpolation possède une précision ! (cf. exemple plus tard)

→ Une interpolation se construit à l'aide d'une base de décomposition :

$$f(x) \approx \left\{ \begin{array}{l} \sum_k c_k x^k \\ \sum_k c_k e^{ikx} \\ \sum_k c_k \phi_k(x) \end{array} \right. \quad \begin{array}{l} \text{(base polynomiale simple)} \\ \text{(base de Fourier)} \\ \text{(base générale)} \end{array}$$

→ Le but est toujours d'arriver à calculer les coefficients d'expansion c_k

Interpolation et EDP

L'interpolation ne sert pas juste à trouver une fonction

$$f(x) \approx \sum_k c_k \phi_k(x)$$

→ on peut s'en servir pour :

une dérivée :

$$f'(x) \approx \sum_k c_k \phi'_k(x)$$

une intégrale :

$$\int_0^1 f(x) dx \approx \sum_k c_k \left(\int_0^1 \phi_k(x) dx \right)$$

→ Ceci nous donne des formules très utiles,
qui constituent le point de départ d'un grand nombre de méthodes numériques !

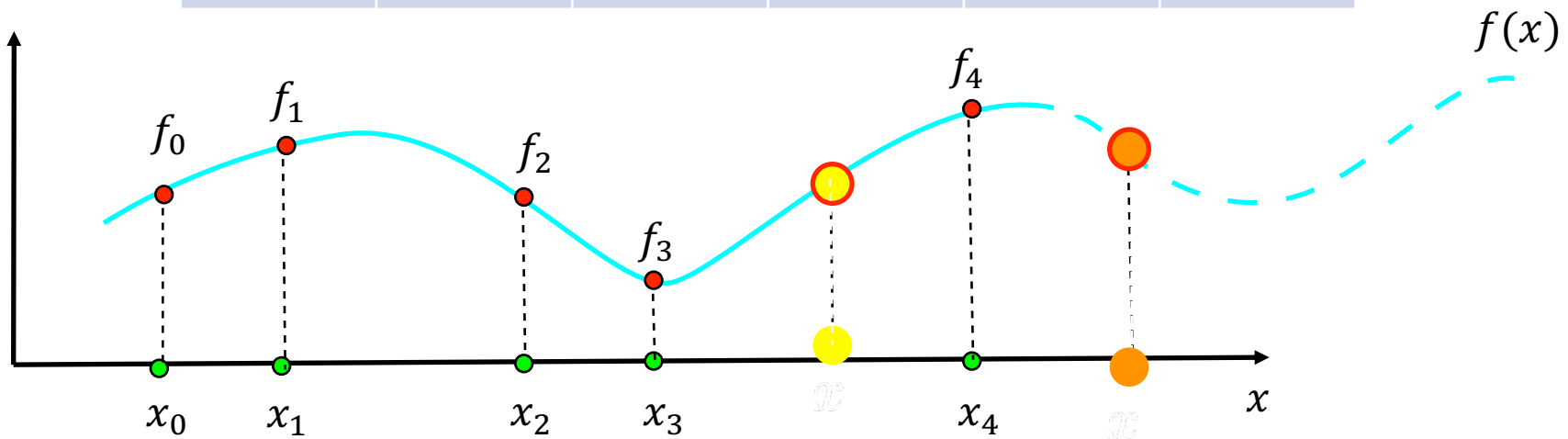
NB : Dans ce cours, on se limitera à l'interpolation polynomiale de Lagrange



Polynôme de Lagrange : Problème

Reprenons notre problème initial :

instant	x_0	x_1	x_2	...	x_n
position	f_0	f_1	f_2	...	f_n



Le polynôme de Lagrange est le polynôme unique d'ordre n qui passe exactement par les $n + 1$ points considérés \rightarrow commençons avec une base polynomiale :

$$f(x) \approx P_L(x) = \sum_k c_k x^k (x)$$

Le problème devient alors :

comment trouver les $n + 1$ coefficients c_k pour reconstruire le polynôme ?



Polynôme de Lagrange : Définition

En discrétisant le domaine, on peut mettre le polynôme sous forme d'un système linéaire :

$$i \in \{0, 1, \dots, n\}$$

$$f(x_i) \approx f_i = P_L(x_i) = \sum_k c_k x_i^k(x) \quad \longrightarrow \quad \begin{bmatrix} 1 & x_0 & x_0^2 & \dots & x_0^n \\ 1 & x_1 & x_1^2 & \dots & x_1^n \\ 1 & x_2 & x_2^2 & \dots & x_2^n \\ \dots & \dots & \dots & \dots & \dots \\ 1 & x_n & x_n^2 & \dots & x_n^n \end{bmatrix} \begin{bmatrix} c_0 \\ c_1 \\ c_2 \\ \dots \\ c_n \end{bmatrix} = \begin{bmatrix} f_0 \\ f_1 \\ f_2 \\ \dots \\ f_n \end{bmatrix}$$

\mathbf{M}

$\rightarrow \det(\mathbf{M}) \neq 0 \Rightarrow$ il existe une unique solution au système

Lagrange a alors introduit le polynôme suivant à cause de ses propriétés :

$$l_k(x) = \frac{(x - x_0)(x - x_1) \dots (x - x_{k-1})(x - x_{k+1}) \dots (x - x_n)}{(x_k - x_0)(x_k - x_1) \dots (x_k - x_{k-1})(x_k - x_{k+1}) \dots (x_k - x_n)}$$

$$= \prod_{i=0, i \neq k}^n \frac{(x - x_i)}{(x_k - x_i)} \quad \longrightarrow \quad \begin{cases} i \neq k: l_k(x_i) = 0 \\ i = k: l_k(x_k) = 1 \end{cases} \quad (l_k(x_i) = \delta_{ik})$$

\rightarrow On obtient alors la formulation unique du polynôme d'interpolation de Lagrange :

$$f(x) \approx P_L(x) = \sum_k f_k l_k(x) \quad \longrightarrow \quad P_L(x_i) = \sum_k f_k l_k(x_i) = \sum_k f_k \delta_{ik} = f_i$$

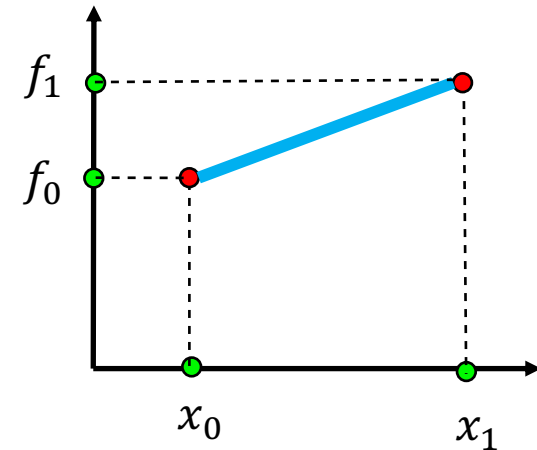
Polynôme de Lagrange : Exemples



Polynôme de Lagrange passant par 2 points = droite :

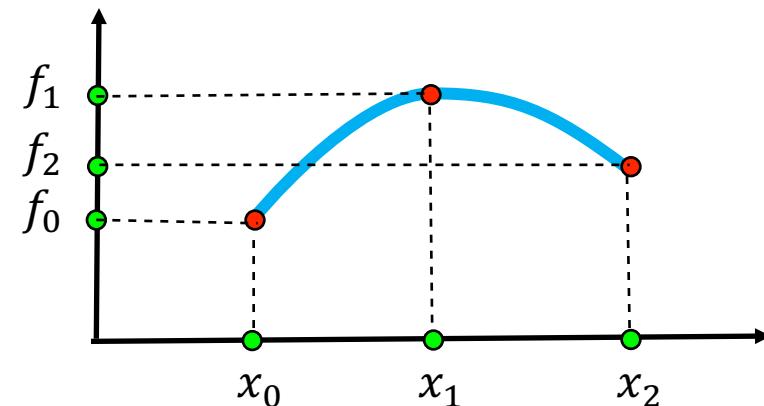
$$P_L(x) = \sum_k f_k l_k(x) \quad l_k(x) = \prod_{i=0, i \neq k}^n \frac{(x - x_i)}{(x_k - x_i)}$$

$$P_L(x) = f_0 \frac{(x - x_1)}{(x_0 - x_1)} + f_1 \frac{(x - x_0)}{(x_1 - x_0)} = \frac{(f_1 - f_0)}{(x_1 - x_0)}(x - x_0) + f_0$$



Polynôme de Lagrange passant par 3 points = parabole :

$$P_L(x) = f_0 \frac{(x - x_1)(x - x_2)}{(x_0 - x_1)(x_0 - x_2)} + f_1 \frac{(x - x_0)(x - x_2)}{(x_1 - x_0)(x_1 - x_2)} + f_2 \frac{(x - x_0)(x - x_1)}{(x_2 - x_0)(x_2 - x_1)}$$

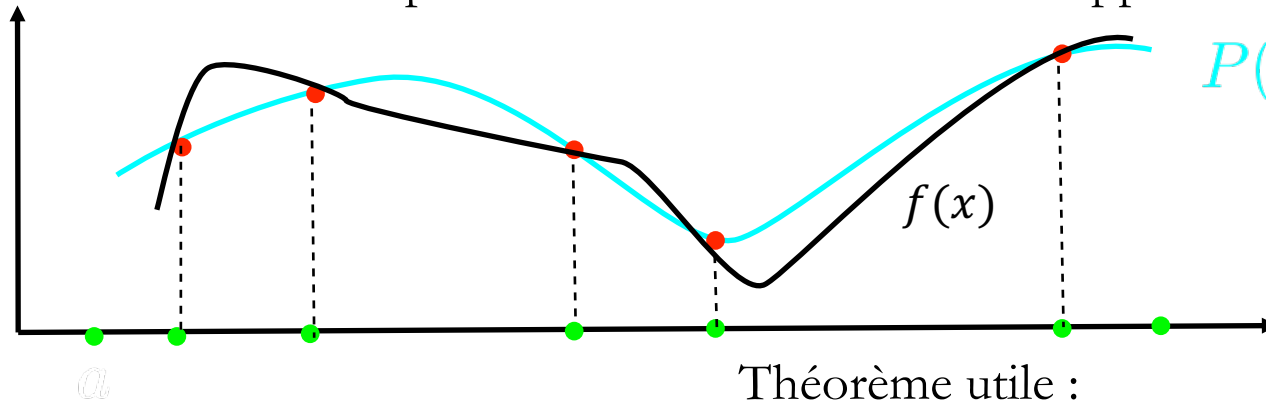


→ Question-piège : et le polynôme de Lagrange passant par 1 point ?



Polynôme de Lagrange : Erreur

On voudrait pouvoir mesurer l'erreur due à l'approximation en polynôme :



$$f(x) = P_L(x) + \text{erreur}$$

Théorème utile :

Soit $f(x)$ une fonction $n+1$ dérivable sur l'intervalle $[a,b]$

Soient $n+1$ points : $a \leq x_0 < x_1 < \dots < x_n \leq b$ où la fonction prend les valeurs f_0, f_1, \dots, f_n

$$f(x) - P_L(x) = \frac{(x - x_0)(x - x_1) \dots (x - x_n)}{(n + 1)!} f^{(n+1)}(\xi), \quad a \leq \min(x, x_0) < \xi < \max(x, x_n) \leq b$$

Si $f(x)$ est un polynôme d'ordre $p \leq n$
 \rightarrow l'erreur s'annule ($f^{(n+1)}(x) = 0$)

Que se passe-t-il si on augmente n ?
 Si x est proche de x_i ?
 Si f varie doucement ?

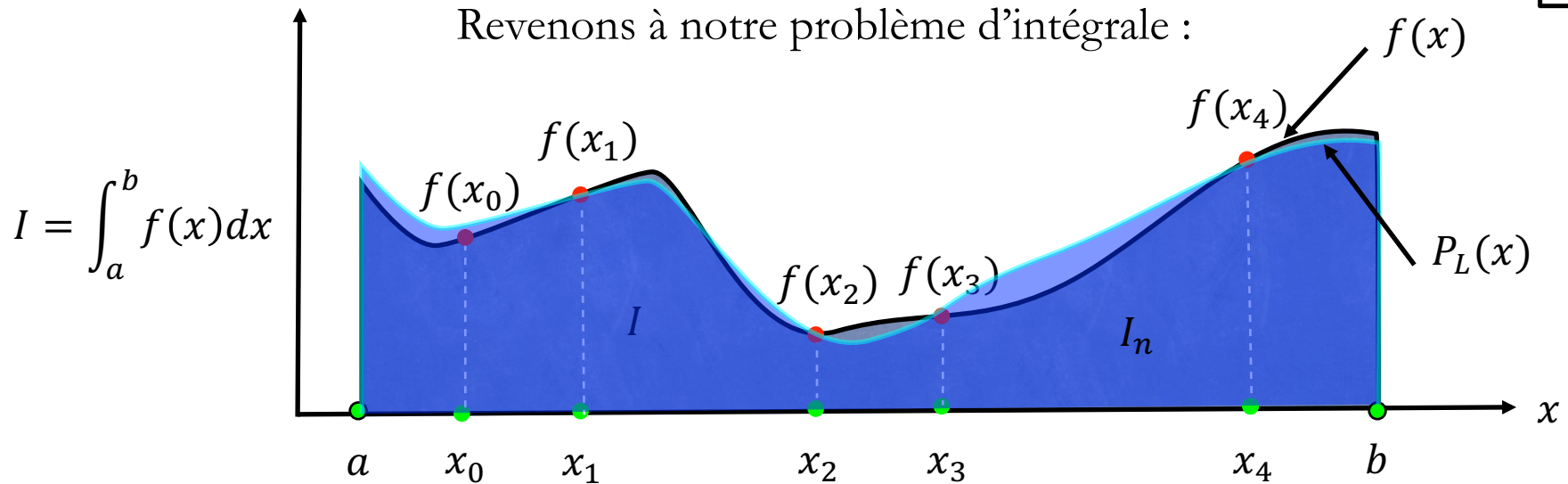
\rightarrow On peut alors borner l'erreur :

$$|f(x) - P_L(x)| \leq \frac{|(x - x_0)(x - x_1) \dots (x - x_n)|}{(n + 1)!} \max_{x \in [a,b]} |f^{(n+1)}(x)|$$

Polynôme de Lagrange et interpolation



Revenons à notre problème d'intégrale :



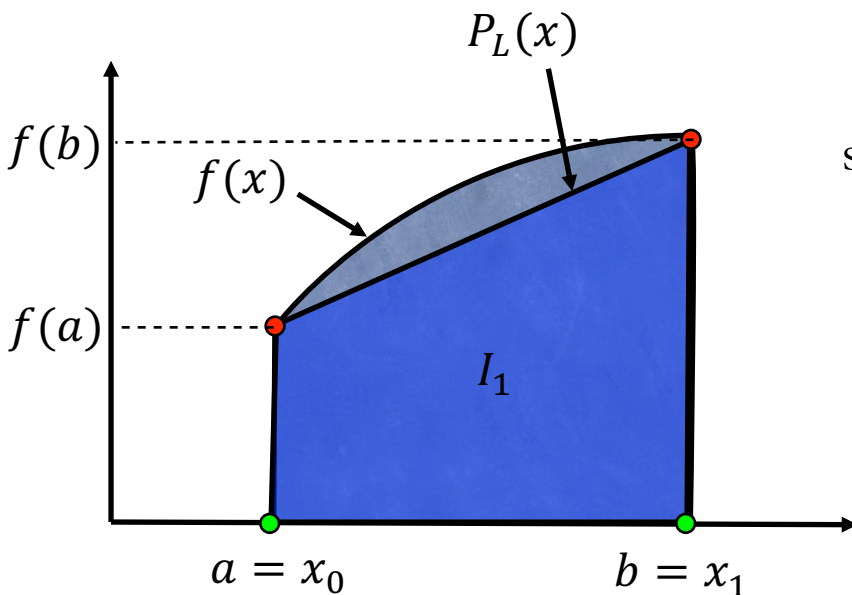
→ On remplace donc la fonction par le polynôme d'interpolation de Lagrange :

$$I \approx I_n = \int_a^b P_L(x) dx \quad \longrightarrow \quad I_n = \sum_{k=0}^n A_k^{(n)} f_k$$

→ On obtient alors une formule pour les coefficients de quadrature d'interpolation :

$$A_k^{(n)} = \int_a^b l_k(x) dx$$

Exemple : Méthode du trapèze



Principe de la méthode :

Pour approcher l'intégrale, on approxime l'aire sous la courbe par l'aire du trapèze correspondant :

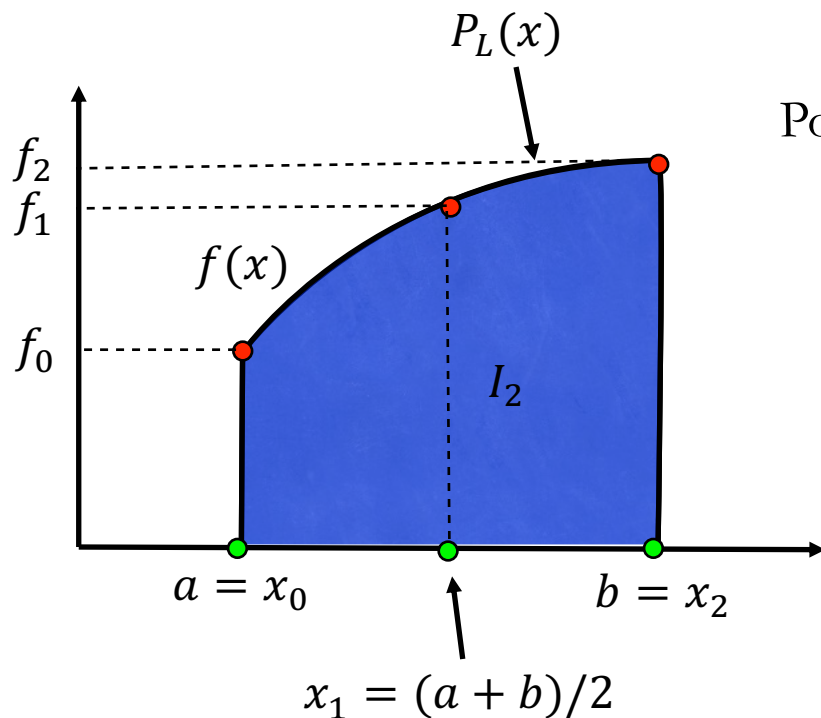
$$I \approx \frac{(f(b) + f(a))(b - a)}{2}$$

Lien avec le polynôme de Lagrange :

Cela revient à utiliser un polynôme de Lagrange qui passe par deux points :

$$\begin{aligned}
 I &= \int_a^b f(x) dx && \longrightarrow && I_1 = \int_a^b \left[f(a) \frac{(x-b)}{(a-b)} + f(b) \frac{(x-a)}{(b-a)} \right] dx \\
 &&& && = f(a) \left(\frac{b-a}{2} \right) + f(b) \left(\frac{b-a}{2} \right) \\
 &&& && = \left(\frac{f(a) + f(b)}{2} \right) (b-a)
 \end{aligned}$$

Méthode de Simpson



Principe de la méthode :

Pour approcher l'intégrale, on approxime l'aire sous la courbe par l'aire sous une parabole

Lien avec le polynôme de Lagrange :

Cela revient à utiliser un polynôme de Lagrange qui passe par trois points :

$$I = \int_a^b f(x) dx$$

$$I_2 = \int_a^b \left[f_0 \frac{(x - x_1)(x - x_2)}{(x_0 - x_1)(x_0 - x_2)} + f_1 \frac{(x - x_0)(x - x_2)}{(x_1 - x_0)(x_1 - x_2)} + f_2 \frac{(x - x_0)(x - x_1)}{(x_2 - x_0)(x_2 - x_1)} \right] dx$$

$$= \left(\frac{b - a}{6} \right) [f(a) + 4f(x_1) + f(b)]$$

Analyse d'erreur

Avec le polynôme de Lagrange, on peut facilement quantifier l'erreur :

$$R = I - I_n = \int_a^b (f(x) - P_L(x)) dx = \int_a^b \frac{v(x)}{(n+1)!} f^{(n+1)}(\xi), v(x) = (x - x_0)(x - x_1) \dots (x - x_n)$$

Méthode du trapèze (2 points, n=1) :

$$R = I - I_1 = \frac{f''(\xi)}{2} \int_a^b (x - a)(x - b) dx = -\frac{(b - a)^3}{12} f''(\xi)$$

$$|R| \leq \frac{(b - a)^3}{12} \max_{x \in [a, b]} |f''(x)|$$

Méthode de Simpson (3 points, n=2) :

$$R = I - I_2 = \frac{f'''(\xi)}{6} \int_a^b (x - a) \left(x - \frac{a + b}{2}\right) (x - b) dx$$

$$|R| \leq \frac{(b - a)^5}{90} \max_{x \in [a, b]} |f'''(x)|$$

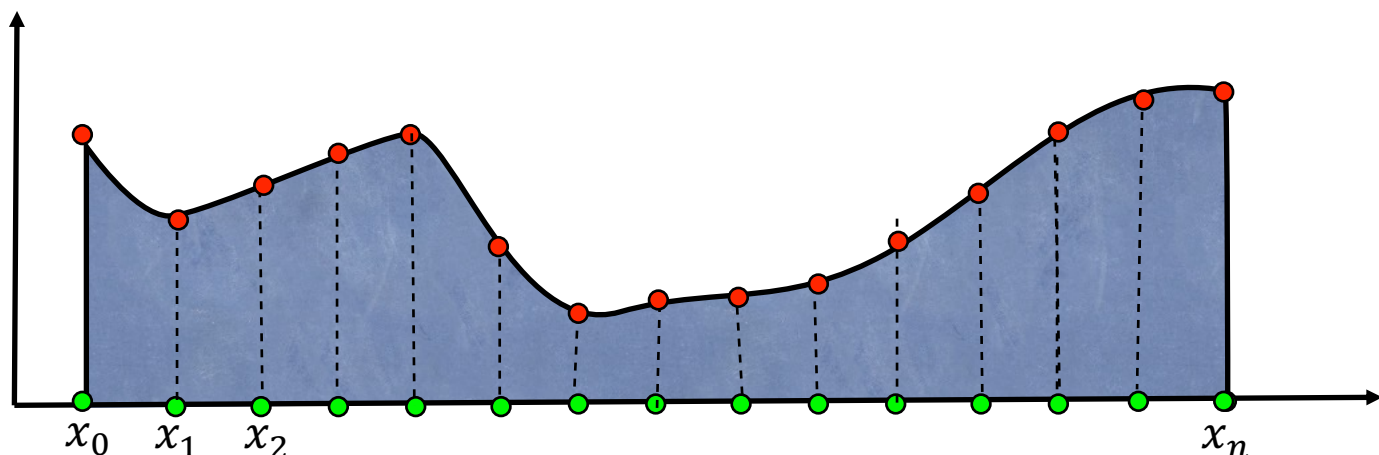
Formules de Newton-Cotes

On peut utiliser des polynômes d'interpolation d'ordres de plus en plus élevé :

Degré	Nom commun	Formule	Terme d'erreur
1	Méthode des trapèzes	$\frac{b-a}{2}(f_0 + f_1)$	$-\frac{(b-a)^3}{12} f^{(2)}(\xi)$
2	Méthode de Simpson 1/3	$\frac{b-a}{6}(f_0 + 4f_1 + f_2)$	$-\frac{(b-a)^5}{2880} f^{(4)}(\xi)$
3	Méthode de Simpson 3/8	$\frac{b-a}{8}(f_0 + 3f_1 + 3f_2 + f_3)$	$-\frac{(b-a)^5}{6480} f^{(4)}(\xi)$
4	Méthode de Boole-Villarceau	$\frac{b-a}{90}(7f_0 + 32f_1 + 12f_2 + 32f_3 + 7f_4)$	$-\frac{(b-a)^7}{1935360} f^{(6)}(\xi)$
6	Méthode de Weddle-Hardy	$\frac{b-a}{840}(41f_0 + 216f_1 + 27f_2 + 272f_3 + 27f_4 + 216f_5 + 41f_6)$	$-\frac{(b-a)^9}{1567641600} f^{(8)}(\xi)$

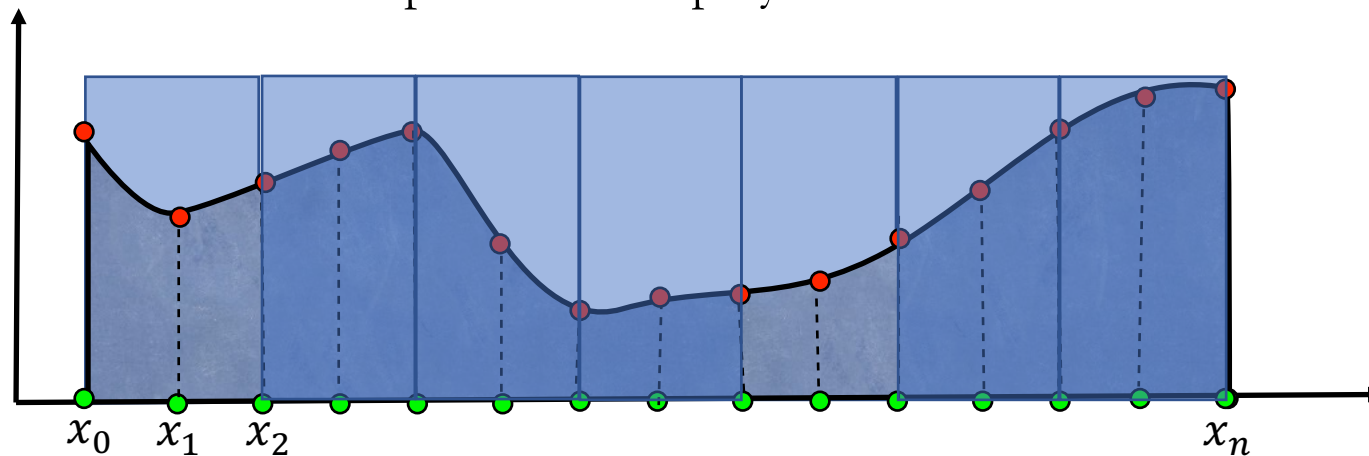
MAIS ATTENTION !

Sur de grands intervalles, ce n'est pas forcément plus précis !



Méthodes composites

À la place, on préfère diviser l'intervalle en sous-intervalles où on interpole avec des polynômes de bas ordre :



Exemple avec la méthode des trapèzes :

$$I = \int_a^b f(x) dx = \sum_{i=0}^{n-1} \int_{x_i}^{x_{i+1}} f(x) dx = \sum_{i=0}^{n-1} I_i, I_i = (x_{i+1} - x_i) \left(\frac{f_i}{2} + \frac{f_{i+1}}{2} \right) + R$$

L'erreur diminue avec le nombre de sous-intervalle qu'on considère :

$$|R| \leq \frac{(b-a)^3}{12n^2} \max_{x \in [a,b]} |f''(x)|$$



Polynôme de Lagrange : Exercice

Petite exercice : interpolons un trajet de RER B (bien connu !)



$$\begin{aligned}
 & v_2 \tan \theta_B = \frac{w_2}{w_1} = w_{21} \\
 & M_e = \sigma T^4 \\
 & \phi_e = \frac{L}{4\pi r^2} \\
 & E = h\nu \\
 & U = \frac{W_{AB}}{|E_{PA} - E_{PB}|} \\
 & \Phi_E = \frac{E_c}{r} \\
 & m = N \cdot m_0 \\
 & l_t = l_0(1 + d\Delta t) \\
 & I = \frac{U_e}{R + R_i} \\
 & R = \rho \frac{l}{S} \\
 & E = mc^2 \\
 & \beta = \frac{\Delta I_c}{\Delta I} \\
 & \phi_e = \frac{\Delta E}{\Delta t} \\
 & \phi = \frac{2\pi \sin^2 \theta}{\lambda} \\
 & E = \hbar k^2 \\
 & M = F d \cos \alpha \\
 & \sigma = \frac{Q}{A} \\
 & \Phi = mc\Delta t \\
 & \Delta \psi = \frac{2\pi \Delta x}{\lambda} \\
 & P = UI \\
 & h = \frac{1}{2} g t^2 \\
 & \nabla \times \left(-\frac{\partial \vec{B}}{\partial t} \right) = -\frac{\partial}{\partial t} (\text{rot } \vec{B}) = -\mu_0 \frac{\partial}{\partial t} (\frac{\partial \vec{B}}{\partial t}) = \dots
 \end{aligned}$$

Intégration temporelle



Formulation du problème

Cette fois-ci, on s'intéresse à une EDO qui dépend du temps

→ système de p EDO d'ordre 1 :

$$\left\{ \begin{array}{l} \frac{du_1}{dt} = f_1(t, u_1, u_2, \dots, u_p) \\ \frac{du_2}{dt} = f_2(t, u_1, u_2, \dots, u_p) \\ \dots \\ \frac{du_p}{dt} = f_p(t, u_1, u_2, \dots, u_p) \end{array} \right. \quad \begin{array}{c} \longrightarrow \\ t \in [t_0, t_f] \end{array} \quad \begin{array}{l} \frac{d\vec{u}}{dt} = f(t, \vec{u}), \vec{u} = (u_1, u_2, \dots, u_p) \\ \text{Discrétisation : } t_0 < t_1 < \dots < t_N = t_f \\ \vec{u}^n = \vec{u}(t_n), f^n = f(t_n, \vec{u}^n) \\ \text{Conditions initiales : } \vec{u}^0 = \vec{U} \end{array}$$

→ on connaît les p fonctions $f_i(t, u_1, u_2, \dots, u_p)$

→ on cherche à identifier les solutions $u_1(t), u_2(t), \dots, u_p(t)$ passant par l'état initial

On peut écrire le problème sous forme intégrale :

$$\vec{u}^{n+1} = \vec{u}^n + \int_{t_n}^{t_{n+1}} f(t', \vec{u}(t')) dt'$$

→ Pour résoudre le problème, il s'agit alors de trouver comment approximer l'intégrale

Lien avec le polynôme de Lagrange

$$\vec{u}^{n+1} = \vec{u}^n + \int_{t_n}^{t_{n+1}} f(t', \vec{u}(t')) dt'$$

En remplaçant $f(t', \vec{u}(t'))$ par un polynôme de Lagrange, on peut donc calculer la solution

MAIS ATTENTION

il reste des choix à faire ! qui auront un impact sur la solution finale !

→ le choix du schéma numérique



Ordre du schéma
= degré du polynôme

Explicite vs. implicite
= choix des points d'interpolation

Formulation explicite vs. implicite

En fonction du schéma choisi, on a la possibilité d'exprimer le problème sous forme explicite ou implicite :

Explicite

= on exprime l'état futur du système en fonction des états passés

$$f(t + \delta t) = F[f(t), f(t - \delta t), \dots]$$

$$\text{ex : } \frac{f(t_{n+1}) - f(t_n)}{\delta t} = -f^2(t_n)$$

→ La résolution est itérative

Avantages :

Plus intuitif, modélisation plus fine

Inconvénients :

Gourmande en ressources,
limitée par la propagation de l'information

Implicite

= on exprime l'état futur du système en fonction de l'état futur également

$$G[\dots, f(t - \delta t), f(t), f(t + \delta t)] = 0$$

$$\text{ex : } \frac{f(t_{n+1}) - f(t_n)}{\delta t} = -f^2(t_{n+1})$$

→ La résolution est matricielle

Avantages :

Plus simple à formuler, moins instable

Inconvénients :

Pas toujours facile d'inverser la matrice,
plus difficile à implémenter

Méthodes de Adams-Bashfort

Les méthodes d'Adams-Bashfort sont des méthodes explicites
= on interpole des points qui sont déjà connus (présent et passé)

Adams-Bashfort 1
= Euler explicite

Adams-Bashfort 2

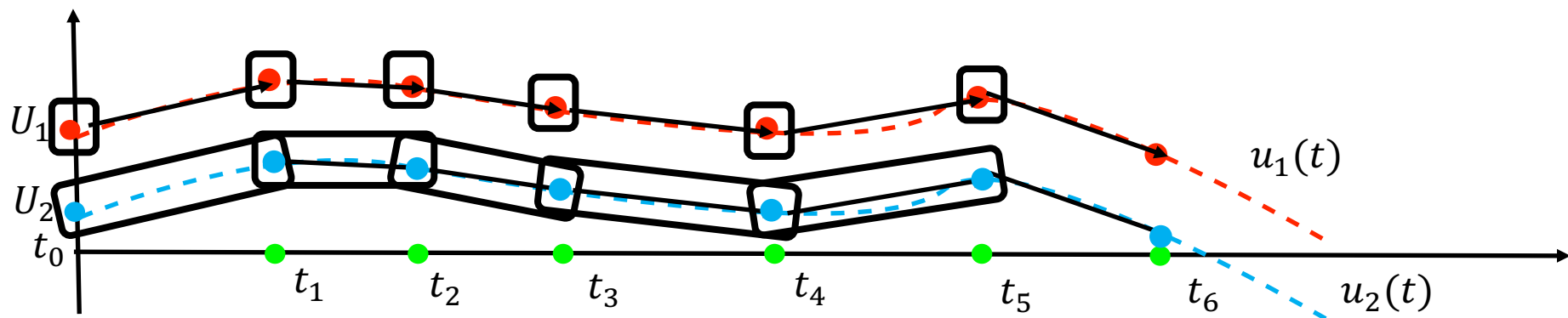
$$f(t', \vec{u}(t')) \rightarrow P(t') = f_n$$

$$f(t', \vec{u}(t')) \rightarrow P(t') = f_{n-1} \frac{t' - t_n}{t_{n-1} - t_n} + f_n \frac{t' - t_{n-1}}{t_n - t_{n-1}}$$

$$\vec{u}^{n+1} = \vec{u}^n + \int_{t_n}^{t_{n+1}} [f_n + O(\delta t')] dt'$$

$$\vec{u}^{n+1} = \vec{u}^n + \delta t \left(\frac{3}{2} f_n - \frac{1}{2} f_{n-1} \right) + O(\delta t^3)$$

$$\vec{u}^{n+1} = \vec{u}^n + \delta t f_n + O(\delta t^2)$$



Méthodes de Adams-Moulton

Les méthodes d'Adams-Moulton sont des méthodes implicites
= on interpole des points qui ne sont pas encore connus (futur)

Adams-Moulton 1
= Euler implicite

Adams-Moulton 2
= Crank-Nicolson

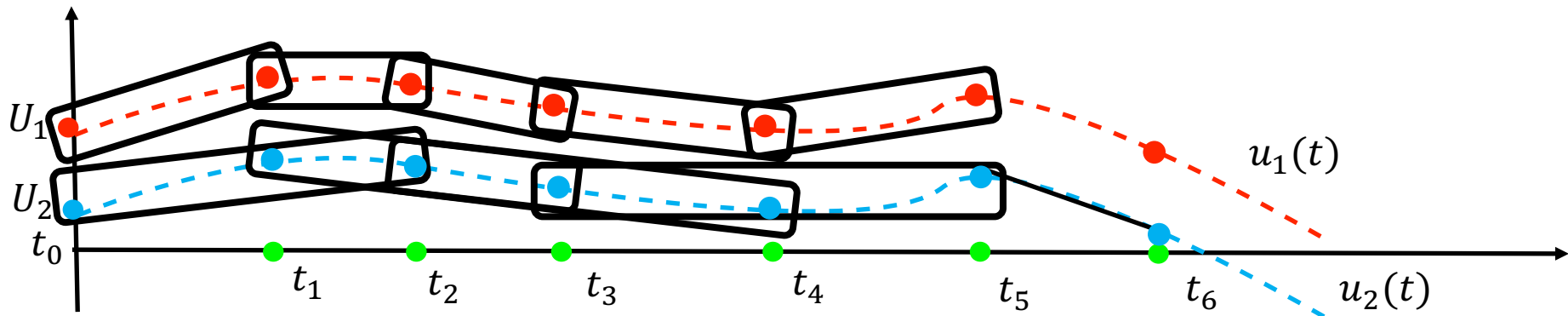
$$f(t', \vec{u}(t')) \rightarrow P(t') = f_{n+1}$$

$$f(t', \vec{u}(t')) \rightarrow P(t') = f_n \frac{t' - t_{n+1}}{t_n - t_{n+1}} + f_{n+1} \frac{t' - t_n}{t_{n+1} - t_n}$$

$$\vec{u}^{n+1} = \vec{u}^n + \int_{t_n}^{t_{n+1}} [f_{n+1} + O(\delta t')] dt'$$

$$\vec{u}^{n+1} = \vec{u}^n + \delta t f_{n+1} + O(\delta t^2)$$

$$\vec{u}^{n+1} = \vec{u}^n + \frac{1}{2} \delta t (f_{n+1} + f_n) + O(\delta t^3)$$

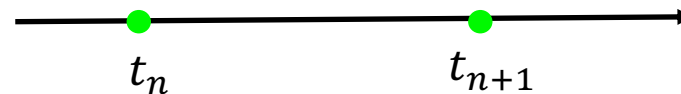


Méthodes de Runge-Kutta

Enfin, les méthodes de Runge-Kutta sont parmi les plus utilisées en physique

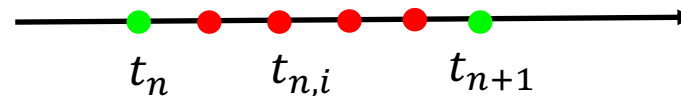
→ méthodes itératives où on introduit des points intermédiaires :

$$\vec{u}^{n+1} = \vec{u}^n + \int_{t_n}^{t_{n+1}} f(t', \vec{u}(t')) dt'$$



$$\vec{u}^{n,i} = \vec{u}^n + \int_{t_n}^{t_{n,i}} f(t', \vec{u}(t')) dt' = \vec{u}^n + \delta t_n \int_0^{c_i} f(t_n + h\delta t_n, \vec{u}(t_n + h\delta t_n)) dh$$

$$t_{n,i} = t_n + c_i \delta t_n$$



$$\vec{u}^{n+1} = \vec{u}^n + \int_{t_n}^{t_{n+1}} f(t', \vec{u}(t')) dt' = \vec{u}^n + \delta t_n \int_0^1 f(t_n + h\delta t_n, \vec{u}(t_n + h\delta t_n)) dh$$

La méthode de Runge-Kutta est donc donnée par :

$$\forall i = 1, \dots, q, \begin{cases} t_{n,i} = t_n + c_i h_n \\ y_{n,i} = y_n + h_n \sum_{k=1}^{i-1} a_{ik} p_{n,k} \\ p_{n,i} = f(t_{n,i}, y_{n,i}) \end{cases}$$

$$y_{n+1} = y_n + h_n \sum_{k=1}^q b_k p_{n,k}$$



c_1	(tableau de Butcher)							
c_2					a_{21}			
c_3					a_{31}	a_{32}		
\vdots					\vdots	\ddots		
c_q					a_{q1}	a_{q2}	\cdots	$a_{q,q-1}$
	b_1	b_2	\cdots	b_{q-1}	b_q			

Exemples de Runge-Kutta (I)

Quelques exemples :

Runge-Kutta
d'ordre 1 = RK1

$$\forall i = 1, \dots, q, \begin{cases} t_{n,i} = t_n + c_i h_n, \\ y_{n,i} = y_n + h_n \sum_{k=1}^{i-1} a_{ik} p_{n,k}, \\ p_{n,i} = f(t_{n,i}, y_{n,i}) \end{cases}$$

$$y_{n+1} = y_n + h_n \sum_{k=1}^q b_k p_{n,k}.$$

c_1	
c_2	a_{21}
c_3	$a_{31} \ a_{32}$
\vdots	\ddots
c_q	$a_{q1} \ a_{q2} \ \dots \ a_{q,q-1}$
b_1	$b_2 \ \dots \ b_{q-1} \ b_q$

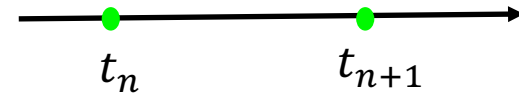


$$q = 1$$

$$b_1 = 1$$

$$c_1 = 0$$

$$a_{11} = 0$$



$$\vec{u}^{n+1} = \vec{u}^n + \delta t f(t_n, \vec{u}^n)$$

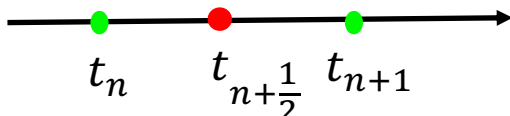


0	0
	1

Exemples de Runge-Kutta (II)

Quelques exemples :

Runge-Kutta
d'ordre 2 = RK2

$$\forall i = 1, \dots, q, \begin{cases} t_{n,i} = t_n + c_i h_n, \\ y_{n,i} = y_n + h_n \sum_{k=1}^{i-1} a_{ik} p_{n,k}, \\ p_{n,i} = f(t_{n,i}, y_{n,i}) \end{cases} \quad h_n = \delta t$$


$$y_{n+1} = y_n + h_n \sum_{k=1}^q b_k p_{n,k}.$$

$$\vec{u}^{n+1/2} = \vec{u}^n + \frac{\delta t_n}{2} f(t_n, \vec{u}^n)$$

$$q = 2 \quad \vec{u}^{n+1} = \vec{u}^n + \delta t_n f(t_{n+1/2}, \vec{u}^{n+1/2})$$

$$b_1 = 0, b_2 = 1$$

$$c_1 = 0, c_2 = 1/2$$

$$a_{11} = 0, a_{21} = 1/2, a_{12} = 0, a_{22} = 0$$

c_1					
c_2	a_{21}				
c_3	a_{31}	a_{32}			
\vdots	\vdots		\ddots		
c_q	a_{q1}	a_{q2}	\cdots	$a_{q,q-1}$	
	b_1	b_2	\cdots	b_{q-1}	b_q

	0	0	0
1/2	1/2	0	
	0	1	

Exemples de Runge-Kutta (III)

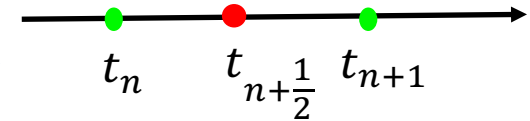
Quelques exemples :

Runge-Kutta
d'ordre 4 = RK4

0	0	0	0	0
1/2	1/2	0	0	0
1/2	0	1/2	0	0
1	0	0	1	0
	1/6	1/3	1/3	1/6

$$q = 4$$

$$c_1 = 0, c_2 = \frac{1}{2}, c_3 = \frac{1}{2}, c_4 = 1$$



$$k_1 = f(t_n, \vec{u}^n)$$

$$k_2 = f\left(t_n + \frac{\delta t_n}{2}, \vec{u}^n + \frac{\delta t_n}{2} k_1\right)$$

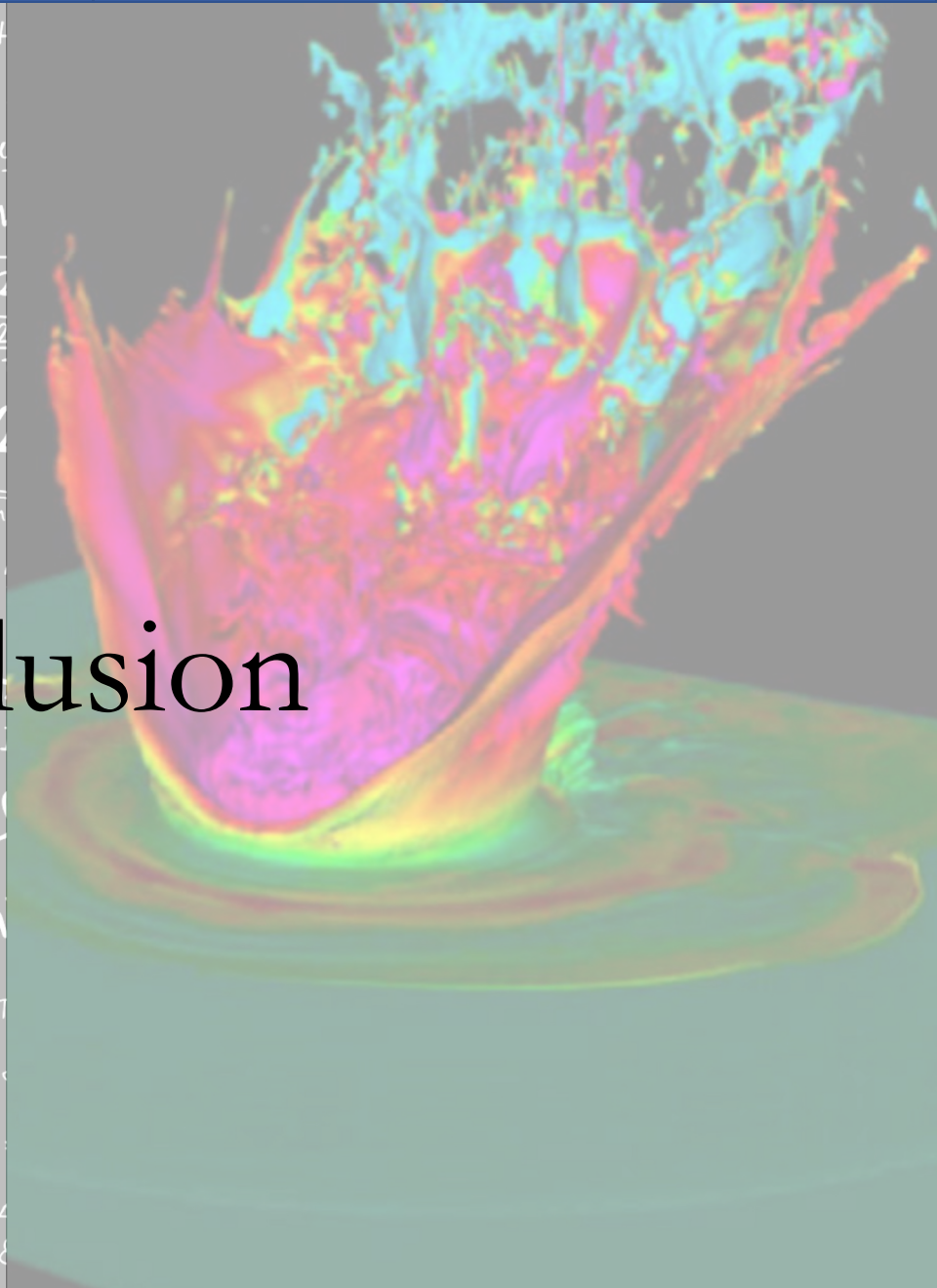
$$k_3 = f\left(t_n + \frac{\delta t_n}{2}, \vec{u}^n + \frac{\delta t_n}{2} k_2\right)$$

$$k_4 = f\left(t_n + \delta t_n, \vec{u}^n + \delta t_n k_3\right)$$

$$\vec{u}^{n+1} = \vec{u}^n + \frac{\delta t_n}{6} (k_1 + 2k_2 + 2k_3 + k_4)$$

$$\begin{aligned}
 & v_2 \tan \theta_B = \frac{w_2}{w_1} = w_{21} \\
 & M_e = \sigma T^4 \\
 & \phi_e = \frac{L}{4\pi r^2} \\
 & E = h\nu \\
 & U = \frac{W_{AB}}{|E_{PA} - E_{PB}|} \\
 & \Phi_E = \frac{E_c}{r} \\
 & m = N \cdot m_0 \\
 & l_t = l_0(1 + d\Delta t) \\
 & I = \frac{U_e}{R + R_i} \\
 & R = \rho \frac{l}{S} \\
 & E = mc^2 \\
 & \vec{S} = \frac{1}{\mu_0} (\vec{E} \times \vec{B}) \\
 & E = \hbar k \\
 & f_0 = \frac{1}{2\pi \tau CL} \\
 & \vec{H} d\vec{l} = \int_S (\vec{J} + \frac{\partial \vec{D}}{\partial t}) \cdot d\vec{S} \\
 & \vec{H} = \mu_0 \sum \vec{I} \\
 & \rho = \frac{\vec{F}}{\Delta S} = \frac{m \Delta \vec{V}}{\Delta S \Delta t} \\
 & f' = \frac{v_a \cdot v_b}{(v-1)(v_0-v_a)} \\
 & \rho V = nRT \\
 & \vec{\Psi} = \iint \vec{D} d\vec{S} = AD \\
 & \frac{\Delta \Psi}{2\pi} = \frac{\Delta x}{\lambda} = \frac{x_2 - x_1}{\lambda} \\
 & k = \frac{2\pi}{\lambda} \\
 & X_L = \frac{U_m}{I_m} \\
 & \omega L = 2\pi f L \\
 & F_g = \frac{m_1 m_2}{r^2} \\
 & R_m = \frac{c}{T} \\
 & \omega = \frac{2\pi}{T} \\
 & \beta = \frac{\Delta I_c}{\Delta I_B} \\
 & \phi = \frac{2\pi \sin^2 \theta}{\lambda} \\
 & S_{Im}^2 = U_m^2 \left[\frac{1}{R^2} + \left(\frac{1}{X_c} - \frac{1}{X_L} \right)^2 \right] \\
 & p = \frac{E}{c} = \frac{hf}{c} = \frac{h}{\lambda} \\
 & \omega = U_m \sin \omega(t - \tau) = U_m \sin 2\pi \\
 & \Delta \Psi = \frac{2\pi \Delta x}{\lambda} = \frac{2\pi d \sin \theta}{\lambda} \\
 & P = UI \\
 & h = \frac{1}{2} g t^2 \\
 & \nabla \times \left(-\frac{\partial \vec{B}}{\partial t} \right) = -\frac{\partial}{\partial t} (\text{rot } \vec{B}) = -\mu_0 \frac{\partial}{\partial t} \left(\frac{\partial \vec{B}}{\partial t} \right) = \dots
 \end{aligned}$$

Conclusion



Récapitulatif

Les équations aux dérivées ordinaires ont l'avantage d'être plus facilement intégrables



On obtient une expression analytique de l'intégrale

Le problème reste sous forme intégrale



Le problème revient à trouver le zéro d'une fonction

Le problème revient à trouver une quadrature d'interpolation



Méthodes de Newton

Polynôme de Lagrange
(interpolation + quadrature)

Application à l'UE

Résolution d'EDO

Polynôme de
Lagrange

Quadrature
d'interpolation

Premiers schémas
(Adams-Bashfort,
Euler, Adams-
Moulton, Crank-
Nicholson, Runge-
Kutta)

TP1

Méthodes de
Newton

TP2

Méthodes de
Runge-Kutta

Plan de l'UE

Idée générale :

Au premier semestre, on va introduire les notions de base, et s'intéresser en détails à une méthode numérique précise

Tous les jeudi matin (8h45-12h45) au bâtiment 625

21 Novembre : Cours 1 + Cours 2

4 Décembre : Cours 3 + TP 1

5 Décembre : Cours 4 + TP 2

12 Décembre : Cours 5 + TP 3

19 Décembre : Cours 6 + TP 4

9 Janvier : Cours 7 + TP 4

16 Janvier : Cours 8 + TP 5

23 Janvier : TP 5

30 Janvier : Examen

Modalités d'évaluation :

TPs + examen oral (question de cours + exercice)